

SÍNTESE, CARACTERIZAÇÃO E ANÁLISE TÉRMICA DOS SAIS DE LÍTIO, SÓDIO E POTÁSSIO DO ÁCIDO PALMÍTICO E DO SEU ÉSTER ETÍLICO

André Luis Castro de Sales, Luiz Antônio Ramos, Ronaldo Spezia Nunes, Salvador Claro Neto e Éder Tadeu Gomes Cavalheiro*

Instituto de Química de São Carlos, Universidade de São Paulo, CP 780, 13560-970 São Carlos – SP, Brasil

Neste material suplementar, são apresentados os espectros de absorção na região do IV para o Hpal, seus sais de Li^+ , Na^+ e K^+ e para o éster etílico (Figura 1S). Também são apresentadas as curvas DSC do Hpal e dos palmitatos de lítio, sódio (obtido em meio aquoso) e potássio, nas Figuras 2S, 3S, 4S e 5S, respectivamente.

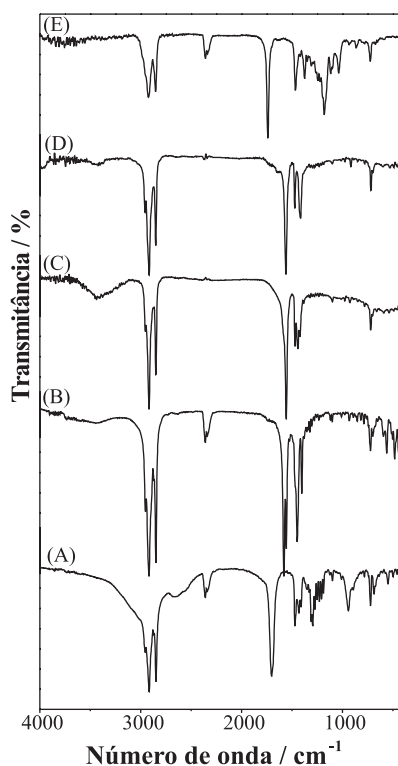


Figura 1S. Espectros de absorção na região do infravermelho dos compostos, obtidos em pastilhas de KBr: (a) Hpal, (b) Lipal, (c) Napal, (d) Kpal e (e) Etilpal

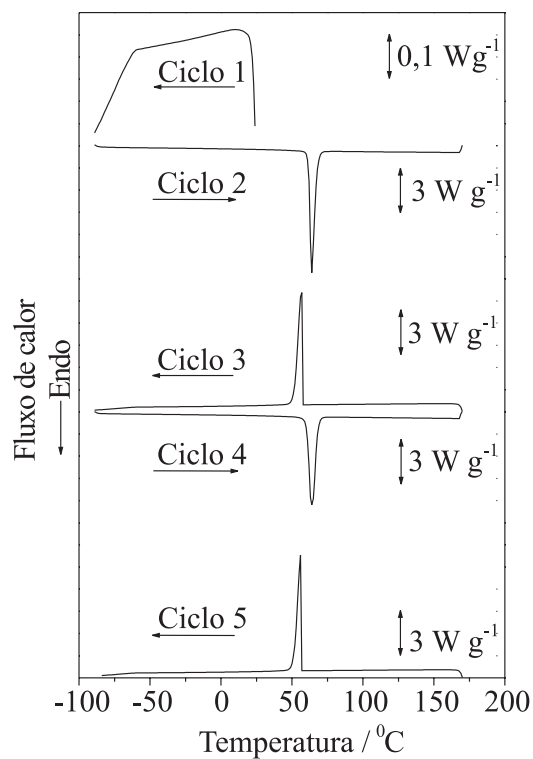


Figura 2S. Curvas DSC do Hpal realizadas em ciclos de aquecimento/resfriamento entre -90 e 170 °C com razão de resfriamento/aquecimento de 10 °C min^{-1} , massa de amostra de 2 mg, atmosfera dinâmica de N_2 (vazão de 50 mL min^{-1})

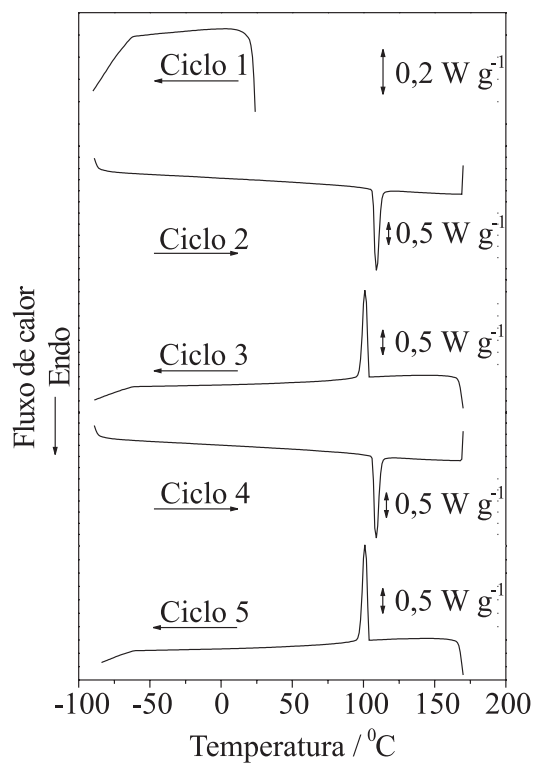


Figura 3S. Curvas DSC do Lipal realizadas em ciclos de aquecimento/resfriamento entre -90 e 170 °C com razão de resfriamento/aquecimento de 10 °C min^{-1} , massa de amostra de 2 mg, atmosfera dinâmica de N_2 (vazão de 50 mL min^{-1})

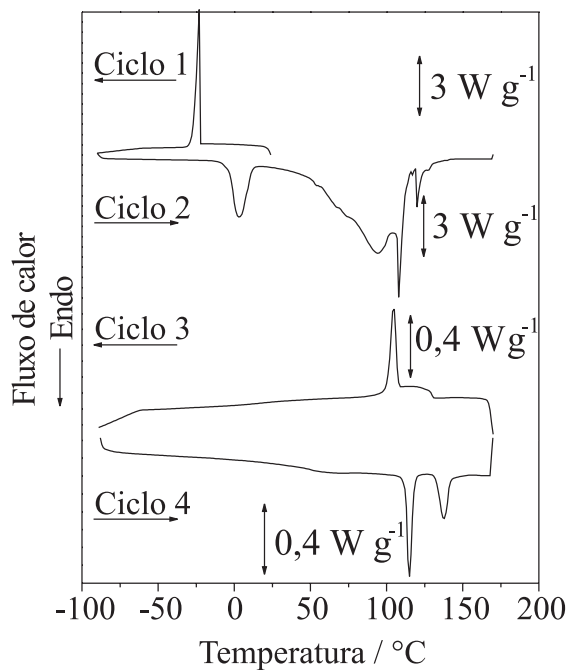


Figura 4S. Curva DSC do Napal, realizada em ciclos de aquecimento/resfriamento entre -90 e 170 $^{\circ}\text{C}$ com razão de resfriamento/aquecimento de 10 $^{\circ}\text{C min}^{-1}$, massa de amostra de 2 mg, atmosfera dinâmica de N_2 (vazão de 50 mL min^{-1}). Síntese feita em meio aquoso

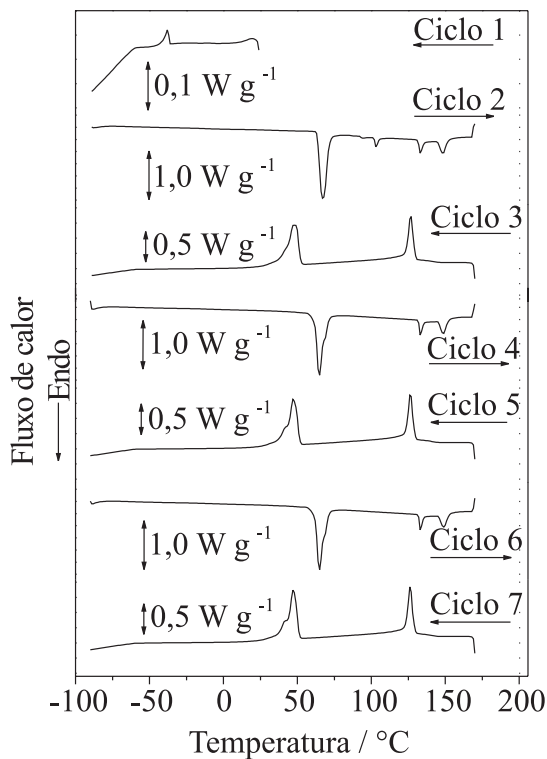


Figura 5S. Curva DSC do Kpal realizada em ciclos de aquecimento/resfriamento entre -90 e 170 $^{\circ}\text{C}$ com razão de resfriamento/aquecimento de 10 $^{\circ}\text{C min}^{-1}$, massa de amostra de 2 mg, atmosfera dinâmica de N_2 (vazão de 50 mL min^{-1})